

Математические модели обработки сигналов

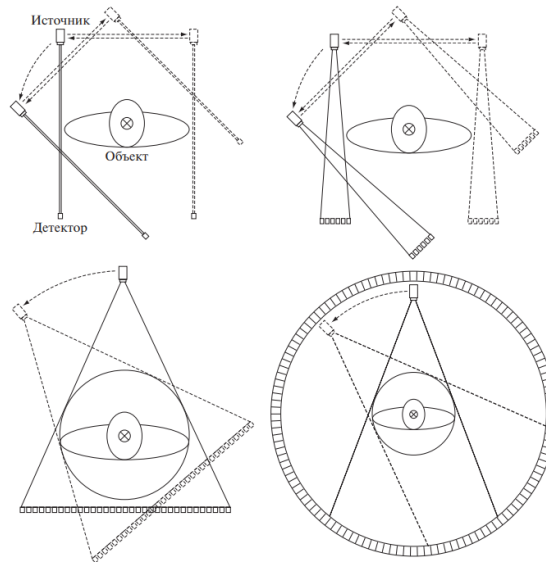
## Дополнительные темы: преобразование Радона

Лектор: Кривошеин А.В.

## Восстановление изображения по проекциям

Суть задачи в том, что можно отправить лучи из некоторого источника и на некотором расстоянии измерить потерянную энергию. Объекты на пути лучей будут эту энергию поглощать. Цель в том, чтобы по информации о проекциях лучей восстановить информацию об объектах.

Одно из основных приложений — это рентгеновская КТ. Есть несколько поколений КТ сканеров.

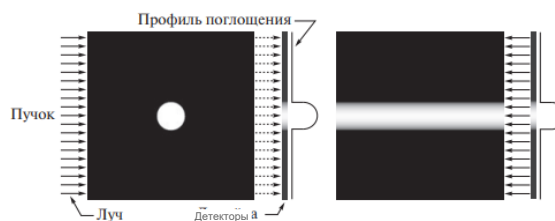


## Восстановление изображения по проекциям

Рассмотрим простейшую постановку, когда лучи направляются параллельно вдоль некоторого сечения трехмерной области человеческого тела и проекции падают на прямую.

Если пучок рентгеновских лучей направить сквозь воздух, то их энергия практически не затухает. Если же лучи проходят сквозь пациента, то энергия лучей поглощается тканями и костями, причём с различными коэффициентами поглощения.

На иллюстрации объект имеет круглую форму и имеет больший коэффициент поглощения, чем окружающая область.

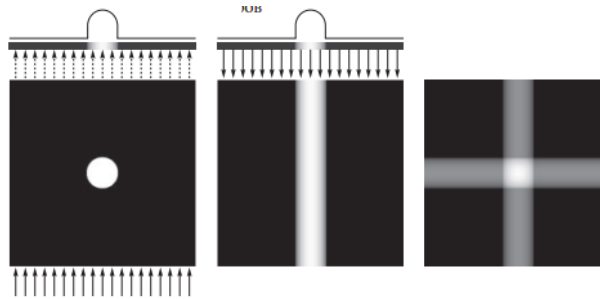


С одной проекции восстановить исходный объект невозможно. Однако, можно сделать множество проекций вдоль различных направлений лучей.

При восстановлении каждая полученная проекция подвергается **процессу обратного проецирования** (англ. backprojection). Проекция (как одномерный сигнал) “протягивается” назад вдоль направления распространения пучка лучей. В примере выше проекция копируется во все столбцы изображения (картинка справа).

## Восстановление изображения по проекциям

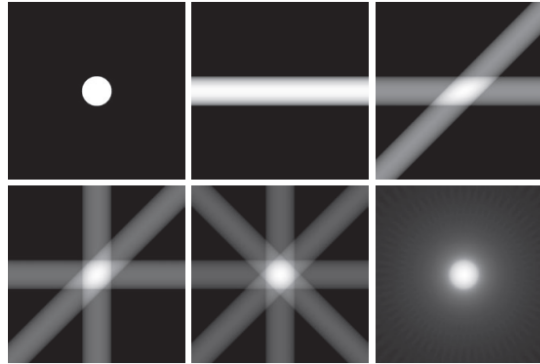
Пусть есть ещё одна проекция, в которой лучи направлены вдоль вертикальной оси. Для неё также сделаем процесс обратного проецирования и для восстановления исходного изображения **прибавим** результат к предыдущей обратной проекции.



## Восстановление изображения по проекциям

Продолжая аналогичный процесс для проекций, полученных с различных направлений можно будет лучше приблизить исходное изображение.

Ниже пример восстановления изображения по 32 проекциям с углами равномерно распределёнными от 0 до  $\pi$ .



Восстановление успешно, однако, легко заметить эффект “ореола” или размытия.

Избавление от этого размытия является важным вопросом для КТ.

## Преобразование Радона

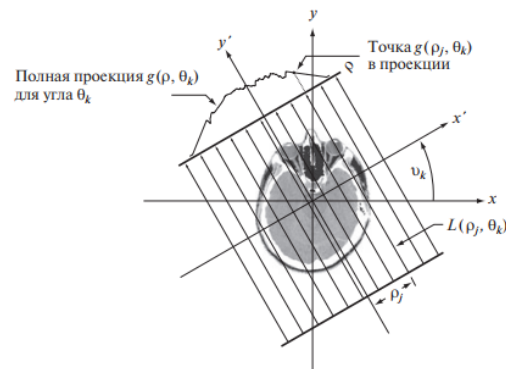
Сначала запишем уравнение прямой  $L$  на плоскости в виде:

$$x \cos \theta + y \sin \theta = \rho,$$

где  $\theta \in (-\pi, \pi]$  — угол нормали

$\rho \geq 0$  — расстояния прямой до начала координат.

Зафиксируем угол  $\theta_k$  и для разных значений  $\rho_j$  будем запускать лучи вдоль прямой с уравнением  $x \cos \theta_k + y \sin \theta_k = \rho_j$ . Для выбранного угла  $\theta_k$  в результате будет получен набор значений проекции, которые будем обозначать за  $g(\rho_j, \theta_k)$ .



## Преобразование Радона

Математически значения проекции  $g(\rho, \theta)$  получаются как криволинейные интегралы 1-го рода вдоль прямых.

Однако, удобнее записать значения  $g(\rho, \theta)$  в виде

$$g(\rho, \theta) = \int_{\mathbb{R}^2} I(x, y) \delta(y \sin \theta + x \cos \theta - \rho) dx dy,$$

где  $\delta(x)$  — это дельта – функция.

Это преобразование двумерной функции  $I$  и называют **преобразованием Радона**.

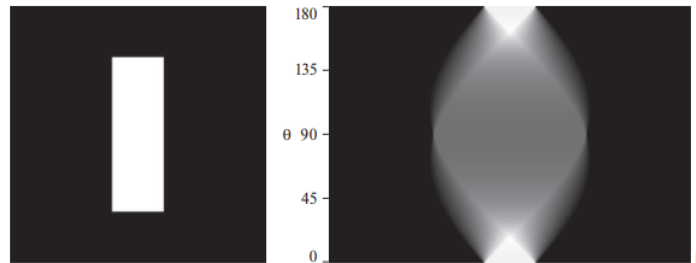
Для цифрового изображения нужно использовать соответствующую дискретную версию

$$g(\rho, \theta) = \sum_{x=0}^{M-1} \sum_{y=0}^{N-1} I(x, y) \delta(y \sin \theta + x \cos \theta - \rho),$$

где все переменные дискретны.

## Преобразование Радона

Полученную двумерную функцию  $g(p, \theta)$  можно визуализировать. Полученное изображение, где яркости получаются из значений  $g(p, \theta)$ , называют **синограммой** (англ. sinogram). Синограмма содержит все необходимое для восстановления исходного изображения.





## Обратное Преобразование Радона

Установим **теорему о проекциях** (Fourier-slice theorem).

Зафиксируем некоторый угол  $\theta$  и рассмотрим проекцию  $g(\rho, \theta)$  как функцию по переменной  $\rho$ . Проделаем с этой функцией 1D преобразование Фурье:

$$\mathcal{F}[g(\cdot, \theta)](\omega) = G(\omega, \theta) = \int_{\mathbb{R}} g(\rho, \theta) e^{-2\pi i \omega \rho} d\rho.$$

Подставим выражение для  $g(\rho, \theta)$  в преобразование Фурье

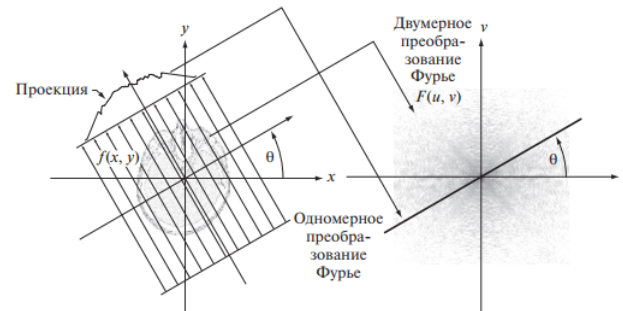
$$\begin{aligned} \int_{\mathbb{R}} g(\rho, \theta) e^{-2\pi i \omega \rho} d\rho &= \int_{\mathbb{R}} \left( \int_{\mathbb{R}^2} I(x, y) \delta(y \sin \theta + x \cos \theta - \rho) dx dy \right) e^{-2\pi i \omega \rho} d\rho = \\ &= \int_{\mathbb{R}^2} I(x, y) \left( \int_{\mathbb{R}} \delta(y \sin \theta + x \cos \theta - \rho) e^{-2\pi i \omega \rho} d\rho \right) dx dy = \\ &= \int_{\mathbb{R}^2} I(x, y) e^{-2\pi i \omega (y \sin \theta + x \cos \theta)} dx dy = \hat{I}(\omega \cos \theta, \omega \sin \theta). \end{aligned}$$

Введём обозначения  $u = \omega \cos \theta$ ,  $v = \omega \sin \theta$ , тогда,

$$\int_{\mathbb{R}} g(\rho, \theta) e^{-2\pi i \omega \rho} d\rho = \int_{\mathbb{R}^2} I(x, y) e^{-2\pi i (y u + x v)} dx dy = \hat{I}(u, v).$$

## Обратное Преобразование Радона

1D преобразование Фурье проекции  $g(\cdot, \theta)$  равно срезу 2D преобразования Фурье исходного изображения вдоль прямой с углом наклона  $\theta$ .



**Восстановление** изображения **суммой обратных проекций** равносильно восстановлению 2D преобразования Фурье **сложением срезов 2D преобразований Фурье**.

Эта связь даёт понимание причины размытости — это пересечение срезов около нулевых частот, что усиливает низкие частоты при простом суммировании проекции при восстановлении.

Как решить проблему? Уменьшить вес низких частот при сложении проекции, что ведёт к методу фильтрации и обратного проектирования (англ. filtered backprojection).

## Обратное Преобразование Радона

По спектру  $\hat{I}(u, v)$  можно восстановить исходное изображение.

$$I(x, y) = \int_{\mathbb{R}^2} \hat{I}(u, v) e^{2\pi i (y u + x v)} du dv.$$

Сделаем замену переменной, перейдя к полярным координатам:  $u = \omega \cos \theta$ ,  $v = \omega \sin \theta$ ,  $\omega \geq 0$ ,  $\theta \in [0, 2\pi)$  и затем применим Fourier-slice theorem:

$$I(x, y) = \int_0^{2\pi} \int_0^\infty \hat{I}(\omega \cos \theta, \omega \sin \theta) e^{2\pi i (y \omega \cos \theta + x \omega \sin \theta)} \omega d\omega d\theta =$$

$$\int_0^{2\pi} \int_0^\infty \mathcal{F}[g(\cdot, \theta)](\omega) e^{2\pi i (y \omega \cos \theta + x \omega \sin \theta)} \omega d\omega d\theta.$$

## Обратное Преобразование Радона

$$\text{Далее, } I(x, y) = \int_0^{2\pi} \int_0^\infty \mathcal{F}[g(\cdot, \theta)](\omega) e^{2\pi i (y \omega \cos \theta + x \omega \sin \theta)} \omega d\omega d\theta = \int_0^\pi \dots + \int_\pi^{2\pi} \dots$$

Сделаем во втором интеграле замену переменной  $\theta := \theta - \pi$  и используем тот факт, что

$\mathcal{F}[g(\cdot, \theta - \pi)](\omega) = \mathcal{F}[g(-\cdot, \theta)](\omega) = \mathcal{F}[g(\cdot, \theta)](-\omega)$ . Тогда можно во внутреннем интеграле сделать замену переменной  $\omega := -\omega$ , что приведёт к интегралу

$$I(x, y) = \int_0^\pi \int_{\mathbb{R}} \mathcal{F}[g(\cdot, \theta)](\omega) e^{2\pi i (y \cos \theta + x \sin \theta) \omega} |\omega| d\omega d\theta =$$

$$\int_0^\pi \left( \int_{\mathbb{R}} |\omega| \mathcal{F}[g(\cdot, \theta)](\omega) e^{2\pi i \rho \omega} d\omega \right) \Big|_{\rho=y \cos \theta + x \sin \theta} d\theta.$$

Если бы не было бы  $|\omega|$ , то внутри внешнего интеграла находилось бы обратное преобразование Фурье. А так этот множитель действует как фильтр. Этот фильтр называют пилообразным (англ. Ramp filter). Также его называют фильтром Рам-Лака по именам предложивших его авторов [Ramachandran, Lakshminarayanan, 1971].

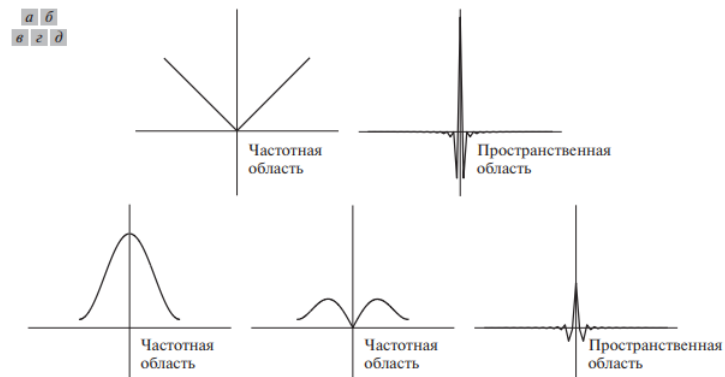
Функция  $h(\omega) = |\omega|$  не является интегрируемой, а значит от неё нет преобразования Фурье в обычном смысле. На практике на этот фильтр можно навесить окно в частотной области, чтобы ограничить полосу частот.

## Обратное Преобразование Радона

В качестве функции окна в простейшем случае можно выбрать и прямоугольное окно, но оно вызывает эффект Гиббса на резких переходах в изображении, поэтому лучший результат будет при использовании гладких окон, например, окно Хэмминга, или окно Ханна.

$$h(\omega) = \begin{cases} c + (c-1) \cos \frac{2\pi\omega}{M-1} & 0 \leq \omega \leq M-1, \\ 0 & \text{в остальных случаях.} \end{cases}$$

При  $c = 0.54$  будет окно Хэмминга, а при  $c = 0.5$  окно Ханна.



## Обратное Преобразование Радона

В дискретном варианте формула восстановления означает, что изображение  $I(x, y)$  восстанавливается суммированием по углам  $\theta$  от 0 до  $\pi$ .

Когда проекций конечное число, то внешний интеграл будет суммой.

В итоге для восстановления полного изображения требуется:

1. Найти 1D преобразование Фурье каждой проекции.
2. Домножить каждое преобразование Фурье проекции  $\mathcal{F}[g(\cdot, \theta)](\omega)$  на  $|\omega|$  с выбранной функцией-окна.
3. Взять обратное преобразование Фурье для каждой отфильтрованной проекции.
4. Просуммировать результат по всем углам.

Эти действия и составляют **метод фильтрации и обратного проектирования** (англ. filtered backprojection).